

(株) 神戸製鋼所 正員 広中 邦汎
 " 大石 靖
 " 新家 敏

1. まえがき

近年、吊橋や斜張橋などにプレハブ・パラレルワイヤストランド (PWS) が多く使用されている。第1報¹⁾では、PWS-91に関する引張り疲労試験を実施し、PWSの疲労特性の一端について報告した。本報告はこれに引続くものであるが、さらに多くの試験を重ねて PWS の疲労強度をより一層明確にしたものである。また、PWS が疲労破壊を引起する原因を説明するために素線に関する基礎的な試験を行なったが、その結果について一部を報告する。

2. PWS-91 引張り疲労試験

(1) 試験方法 前回の6体の供試体と同じく、PWS-91 (5# 亜鉛メッキ鋼線×91本、断面積 1.787 mm²) を用いて、両端を溶融亜鉛・銅合金 (鋳込み温度 460°C) で定着させた供試体 10 体を製作した。表-1 に各供試

表-1 PWS-91 疲労試験結果まとめ

No.	Max. load(t) (Stress kg/mm ²)	Min. load(t) (Stress kg/mm ²)	Number of cycles ($\times 10^4$)	Number of broken wires
7	58.0 (32.5)	17.9 (10.0)	400	0
8		67.0 (37.5)	224	1
9		71.4 (40.0)	232	0
10		58.0 (32.5)	341	2
11		67.0 (37.5)	228	0
12		62.5 (35.0)	240	0
13		62.5 (35.0)	260	0
14		62.5 (35.0)	359	6
15		55.6 (31.0)	402	9
16		55.6 (31.0)	408	7

体について荷重条件および試験結果のまとめを示す。なお前回の試験は、いずれも今回の No.7 と同じく最小応力も 10 kg/mm² とて最大応力を変化させたが、No.8~16 はこれより高くして最大応力を 60 kg/mm² とした。両者の結果を対比させることによって、PWS の実働荷重範囲内における平均応力の影響を調べた。

(2) 断線の発生 図-1 は、今回の試験で疲労破壊を生じた供試体について断線の発生状況を示すものであるが、前回の結果とほぼ同様の傾向を示した。すなわち、同図(a)のように断線は少數本に停まつて (全素線数の 10% 以下), 破断しない素線はながら後の繰返し載荷に耐えた。また(b)図のように、断線はすべてソケット内部で生じた。この箇所で素線は引張力のかかに曲げ、側圧あるいは合金鋳込み時の熱などが作用するところが考えられるが、これらの条件の厳しいものから順次、破断を生じていったものと思われる。

(3) S-N 線図 図-1 に示されるように PWS は数本の断線が生じたのちも耐荷力も十分に有することから、どの程度の断線が発生した時点でもって PWS の疲労寿命を考えるかについては議論のあるところである。図-2 はこの条件をもつとも厳しくした場合、すばやく初断線の発生時をもって PWS の寿命と考え S-N 線図にまとめたものである。Ⓐ は前回 6 体と今回実施した 10 体の PWS-91 の試験結果を併せて示し、Ⓑ は本試験と同種のワイヤを用いた单線の疲労データ²⁾、また Ⓢ は々々の裸線を用いて端部を鋼球、合成樹脂などで定着 (HiAM アンカ-) した PWS

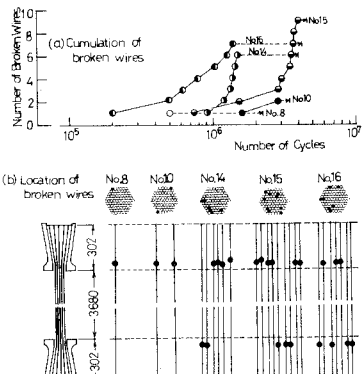


図-1 断線の発生状況

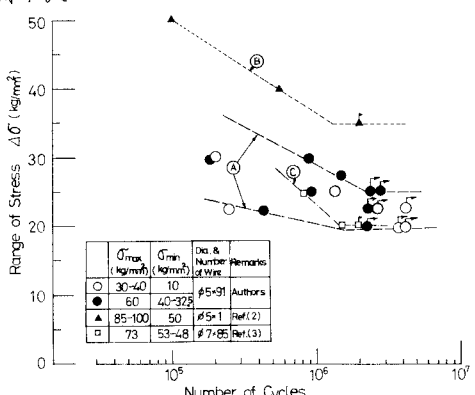


図-2 初断線時の S-N 線図

-85の結果³⁾である。本試験の結果(A)はデータに若干のバラツキがあるが、200万回強度は応力全振幅で20~25 kg/mm²の範囲にある。また応力のレベルを変えた○と●とのほとんど差異が認められないことから、平均応力の影響は無視できるものと思われる。PWSは実橋において本試験程度の応力範囲で使用されるが、以上の結果より、疲労強度はこの範囲では平均応力に関係なく最低20 kg/mm²程度を有するものと思われる。本試験結果を単線のデータ(B)と比較すると10~15 kg/mm²程度低下している。これは(B)の供試体式PWS-91のように定着部で素線の曲げがなく合金の充填状況もよいことなどから、先に述べたような曲げや側圧など付加的な力を受けなかったためと思われる。また本試験結果はデータ(C)と同程度の値を示すが、(C)では断線は定着部以外で発生しており、素線の相違などを考慮に入れると、(A)と(C)を単純に比較することには問題がある。

3. ワイヤ接触疲労試験

(1) 側圧の作用 図-1(b)のようにPWSの疲労断線は定着部で生じたが、この原因のひとつとして側圧の影響が考えられる。すなわち素線の屈曲のために横方向の圧力を受ける、これと素線間の微小な相対すべりが相まつて表面にフレッキング現象を生じ疲労強度を低下させることが考えられる。このような側圧が作用する箇所はリケット部以外にも、ケーブルバンドおよびサドル部でも考えられる。図-3に各部における側圧作用の模式図および接触圧(線圧)の概算値を示す。

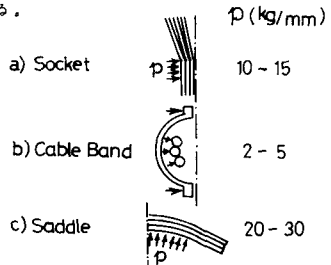


図-3 ケーブル各部の側圧

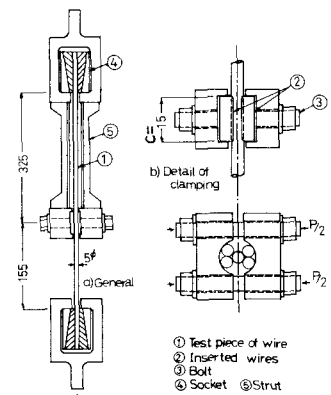


図-4 接触疲労試験装置

(2) 試験方法 図-3のようは側圧がワイヤの疲労強度に及ぼす影響をみるために図-4に示す装置を用いて疲労試験を行なった。試験体①はPWS-91と同一の素線で、その中间部に長さ15 mmの同一素線②を4方向で接触させ、これをボルト③で所定の接触圧となるように締め付けた。①と②の接触圧は図-3の値を参考にして、線圧をP = 5, 15, 25 kg/mmの3段階とした。なお接触部は支持棒⑤で上側リケットと連結しているため、①と②の接触面を相対すべりが生ずる。引張応力は接触部より下側の箇所を基準にして、最小応力をすべて40 kg/mm²として最大応力を変化させた。

(3) 試験結果 図-5に本試験の結果をS-N線図にまとめて示す。破断はいずれも接触部の下端点で生じた。接触圧P = 5 kg/mmのものはフレッキング現象がみられながら破壊しなかった。P = 15 kg/mmと25 kg/mmとではほとんど差がなく200万回強度は20~25 kg/mm²程度である。この値は図-2の(A)とほぼ同一であることは興味がある。これより、少くとも側圧がPWSの疲労破壊にかなり影響を及ぼしていることがうかがえる。

4. あとがき

著者らの一連の実験により、これまで不明瞭であったPWSの疲労強度をかなり明確にすることができた。とくに基礎的な実験により疲労破壊の機構を説明するための手がかりもつかることができた。同種の実験は現在も継続中であり、それらの結果のまとめ次第、後日報告したい。

(参考文献)

- 1) 広中, 大石, 新家: パラレルワイヤストランドの疲労特性, 土木学会第32回年次学術講演会 I-328 昭和52.10
- 2) 山本, 麻勝, 横原: 長大橋ケーブル用鋼線の疲労およびクリープ性状, 土木学会第24回年次学術講演会 I-169 昭和44.10
- 3) Andra, Zellner: Zugglieder aus Paralleldrahtbündeln und ihre Verankerung bei hoher Dauerschwellbelastung, BAUTECHNIK Heft 8, 9/1969

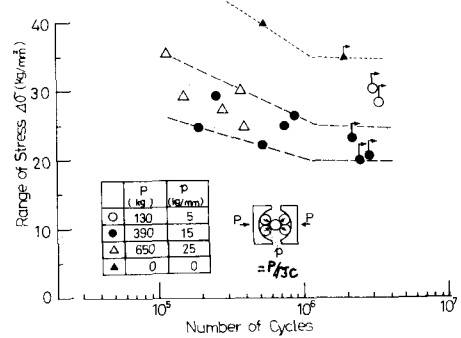


図-5 接触疲労試験結果